

دانشگاه آزاد اسلامی - واحد علوم تحقیقات
دانشکده‌ی مهندسی برق کنترل

گزارش شبیه سازی تمرین ۲ کنترل مد لغزشی
درس تشخیص و شناسایی عیب

عنوان:

**تمرین ۲ کنترل مد لغزشی - اعمال کنترل مد لغزشی
کلاسیک بر روی یک سیستم درجه سه با سه پارامتر
نامعین**

نگارش:

کیان خانقاهی

استاد راهنما:

دکتر مهدی سیاهی

مرداد ۱۴۰۰

سلام افلا

فهرست مطالب

۶	۱ طراحی
۶	۱-۱ طراحی کنترل مد لغزشی کلاسیک
۹	۲ شبیه سازی
۹	۱-۲ شبیه سازی با روش کنترل مد لغزشی کلاسیک
۱۰	۲-۲ تحلیل نتایج
۱۹	۳ نتیجه گیری

فهرست شکل‌ها

- ۱-۲ پیاده سازی سیستم با روش کنترل مد لغزشی کلاسیک در سیمولینک ۱۰
- ۲-۲ نمودار x با روش کنترل مد لغزشی کلاسیک ۱۱
- ۳-۲ نمودار e با روش کنترل مد لغزشی کلاسیک ۱۲
- ۴-۲ نمودار \dot{x} با روش کنترل مد لغزشی کلاسیک ۱۳
- ۵-۲ نمودار \dot{e} با روش کنترل مد لغزشی کلاسیک ۱۴
- ۶-۲ نمودار \ddot{x} با روش کنترل مد لغزشی کلاسیک ۱۵
- ۷-۲ نمودار \ddot{e} با روش کنترل مد لغزشی کلاسیک ۱۶
- ۸-۲ نمودار S با روش کنترل مد لغزشی کلاسیک ۱۷
- ۹-۲ نمودار u با روش کنترل مد لغزشی کلاسیک ۱۸

فهرست جدول‌ها

فصل ۱

طراحی

در این فصل به حل مثال زیر با طراحی کنترل مد لغزشی کلاسیک می پردازیم.

مثال ۱-۱ برای سیستم زیر، بردار کنترل u را طوری طراحی کنید که خروجی $y = x$ ، ورودی مطلوب $x_d(t) = \sin(\pi \cdot t/2)$ را دنبال کند.

$$\begin{aligned} \ddot{x}(t) + \alpha_1(t) \cdot (\dot{x}(t))^2 + \alpha_2(t) \cdot (\dot{x}(t))^5 \cdot \sin(4x) &= b(t) \cdot u \\ -1 &\leq \alpha_1(t) \leq 1 \\ -2 &\leq \alpha_2(t) \leq 2 \\ 1 &\leq b(t) \leq 4 \end{aligned} \quad (1-1)$$

۱-۱ طراحی کنترل مد لغزشی کلاسیک

در این قسمت برای مثال با روش کنترل مد لغزشی کلاسیک طراحی می کنیم. ابتدا فرم استاندارد معادله سیستم را به صورت زیر بدست می آوریم.

$$\ddot{x}(t) = \underbrace{-\alpha_1(t) \cdot (\ddot{x}(t))^2 - \alpha_2(t) \cdot (\dot{x}(t))^5 \cdot \sin(4x)}_f + b(t) \cdot u \quad (2-1)$$

مقادیر نامی و حدی f را به صورت زیر به دست می آوریم.

$$\hat{f} = 0, \quad |\hat{f} - f| \leq F = \ddot{x}^2(t) + 2 \left| (\dot{x}(t))^5 \cdot \sin(4x) \right| \quad (3-1)$$

سیگنال خطا به صورت زیر تعریف می شود.

$$e = y - y_d = x - x_d \quad (۴-۱)$$

حال سطح لغزش را به صورت زیر تعریف می کنیم.

$$S = \ddot{e} + 2\lambda\dot{e} + \lambda^2 e \quad (۵-۱)$$

اگر از سطح لغزش نسبت به زمان یکبار مشتق بگیریم به صورت زیر می شود.

$$\dot{S} = \ddot{\ddot{e}} + 2\lambda\ddot{e} + \lambda^2\dot{e} = \ddot{\ddot{x}} - \ddot{\ddot{x}}_d + 2\lambda\ddot{e} + \lambda^2\dot{e} \quad (۶-۱)$$

حال به جای $\ddot{\ddot{x}}$ مقدارش را از روی معادله ی سیستم می گذاریم.

$$\dot{S} = f + b \cdot u - \ddot{\ddot{x}}_d + 2\lambda\ddot{e} + \lambda^2\dot{e} \quad (۷-۱)$$

سپس با فرض معلوم بودن $b(t)$ اگر $\dot{s} = 0$ و به جای u ، u_{eq} و به جای f ، \hat{f} قرار دهیم، $b.u_{eq}$ به صورت زیر حاصل می شود.

$$\hat{f} + b \cdot u_{eq} - \ddot{\ddot{x}}_d + 2\lambda\ddot{e} + \lambda^2\dot{e} = 0 \quad \Rightarrow \quad (۸-۱)$$

$$b.u_{eq} = \ddot{\ddot{x}}_d - 2\lambda\ddot{e} - \lambda^2\dot{e} - \hat{f} \quad (۹-۱)$$

خروجی کنترلر به صورت زیر بدست می آید.

$$b.u = b.u_{eq} - K.sign(S) \quad (۱۰-۱)$$

سپس شرط مجانبی بودن پایداری را چک می کنیم.

$$S.\dot{S} \leq -\eta.\|S\| \quad \Rightarrow \quad (۱۱-۱)$$

$$S.\dot{S} = S.[f + b.u - \ddot{\ddot{x}}_d + 2\lambda\ddot{e} + \lambda^2\dot{e}] \leq -\eta.\|S\| \quad \Rightarrow \quad (۱۲-۱)$$

$$S.\dot{S} = S.[f + b.u_{eq} - K.sign(S) - \ddot{\ddot{x}}_d + 2\lambda\ddot{e} + \lambda^2\dot{e}] \leq -\eta.\|S\| \quad \Rightarrow \quad (۱۳-۱)$$

$$S.\dot{S} = S.[f + \ddot{\ddot{x}}_d - 2\lambda\ddot{e} - \lambda^2\dot{e} - \hat{f} - K.sign(S) - \ddot{\ddot{x}}_d + 2\lambda\ddot{e} + \lambda^2\dot{e}] \leq -\eta.\|S\| \quad \Rightarrow \quad (۱۴-۱)$$

$$S.\dot{S} = S.[f - \hat{f} - K.sign(S)] \leq \|S\|.F - K.\|S\| \leq -\eta.\|S\| \Rightarrow \quad (15-1)$$

$$K \geq \eta + F \quad (16-1)$$

حال که پایداری مجانبی اثبات شده است، خروجی کنترلر را به صورت زیر بدست میاوریم.

$$b \cdot u = -\hat{f} + \ddot{x}_d - 2\lambda^{\vee}\ddot{e} - \lambda^{\vee}\dot{e} - K \cdot sign(S) \Rightarrow \quad (17-1)$$

$$\frac{b}{|b|}.u = \frac{-\hat{f} + \ddot{x}_d - 2\lambda^{\vee}\ddot{e} - \lambda^{\vee}\dot{e} - (F + \eta) sign(S)}{|b|} \Rightarrow \quad (18-1)$$

$$u = \frac{-\hat{f} + \ddot{x}_d - 2\lambda^{\vee}\ddot{e} - \lambda^{\vee}\dot{e} - (F + \eta) sign(S)}{b_{\min}}.sign(b) \quad , \quad b > 0 \Rightarrow \quad (19-1)$$

$$u = \frac{-\hat{f} + \ddot{x}_d - 2\lambda^{\vee}\ddot{e} - \lambda^{\vee}\dot{e} - (F + \eta) sign(S)}{b_{\min}} \quad (20-1)$$

فصل ۲

شبیه سازی

در این فصل طراحی روش در فصل قبل، شبیه سازی می شود و در آخر نتایج تحلیل می شود.

۱-۲ شبیه سازی با روش کنترل مد لغزشی کلاسیک

پیاده سازی سیستم با روش کنترل مد لغزشی کلاسیک در سیمولینک به صورت شکل ۱-۲ می باشد. همان طور که دیده می شود، $\lambda = 20$ ، $\eta = 0.1$ در نظر گرفته شده است تا تقریباً زمان رسیدن کم شود و در عین حال چترینگ هم خیلی زیاد نشود. نامعینی های $\alpha_1(t)$ ، $\alpha_2(t)$ و $b(t)$ هم در اینجا هریک با جمع یک موج سینوسی و یک عدد ثابت درست شده اند، به طوری که محدوده ی آن یکی باشد. حال شبیه سازی را در زمان ۱۰ ثانیه و شرایط اولیه ی $x(0) = 0$ ، $\dot{x}(0) = 0$ ، $\ddot{x}(0) = 0$ انجام می دهیم.

نمودار x به صورت شکل ۲-۲ می باشد.

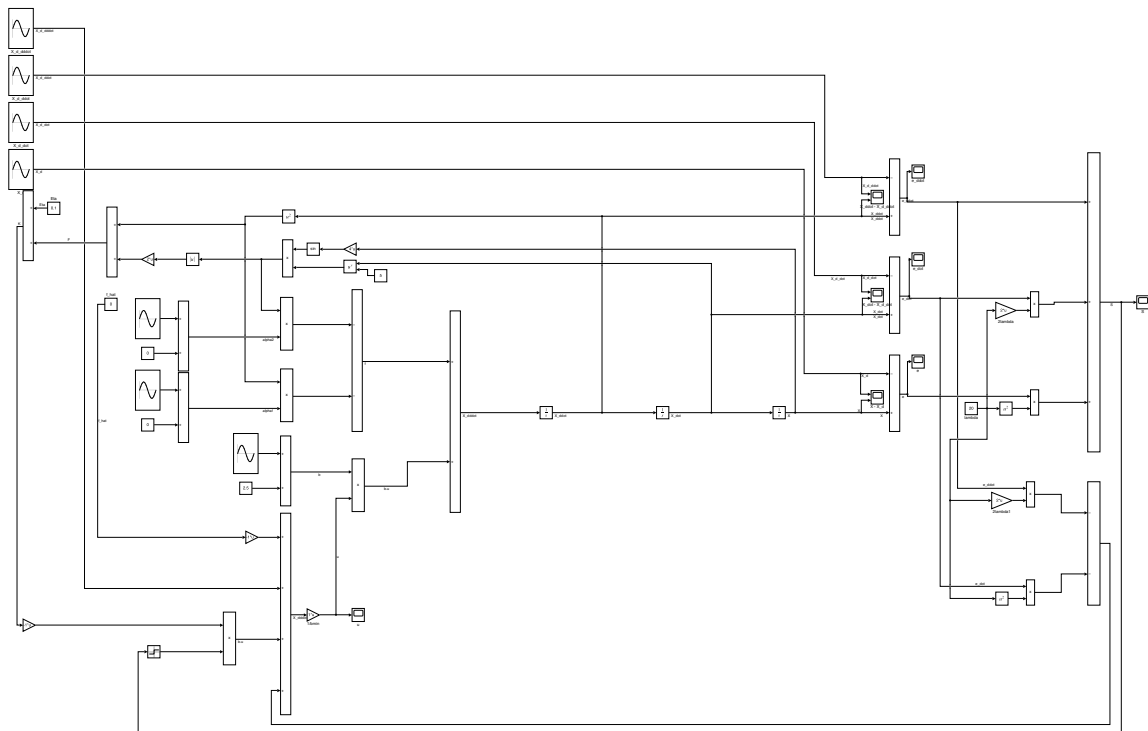
نمودار e به صورت شکل ۳-۲ می باشد.

نمودار \dot{x} به صورت شکل ۴-۲ می باشد.

نمودار \ddot{x} به صورت شکل ۵-۲ می باشد.

نمودار $\ddot{\ddot{x}}$ به صورت شکل ۶-۲ می باشد.

نمودار $\ddot{\ddot{\ddot{x}}}$ به صورت شکل ۷-۲ می باشد.



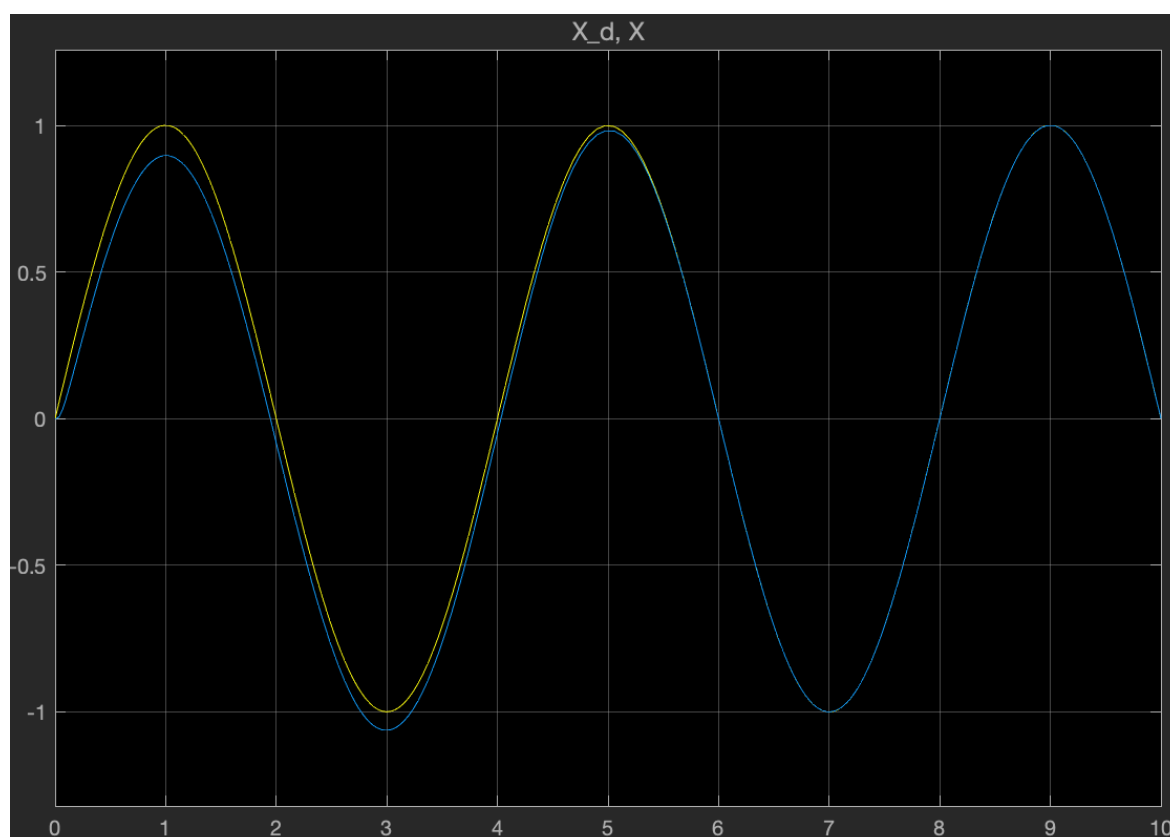
شکل ۲-۱: پیاده سازی سیستم با روش کنترل مد لغزشی کلاسیک در سیمولینک

نمودار S یا سطح لغزش به صورت شکل ۲-۸ می باشد.

نمودار u یا خروجی کنترلر به صورت شکل ۲-۹ می باشد.

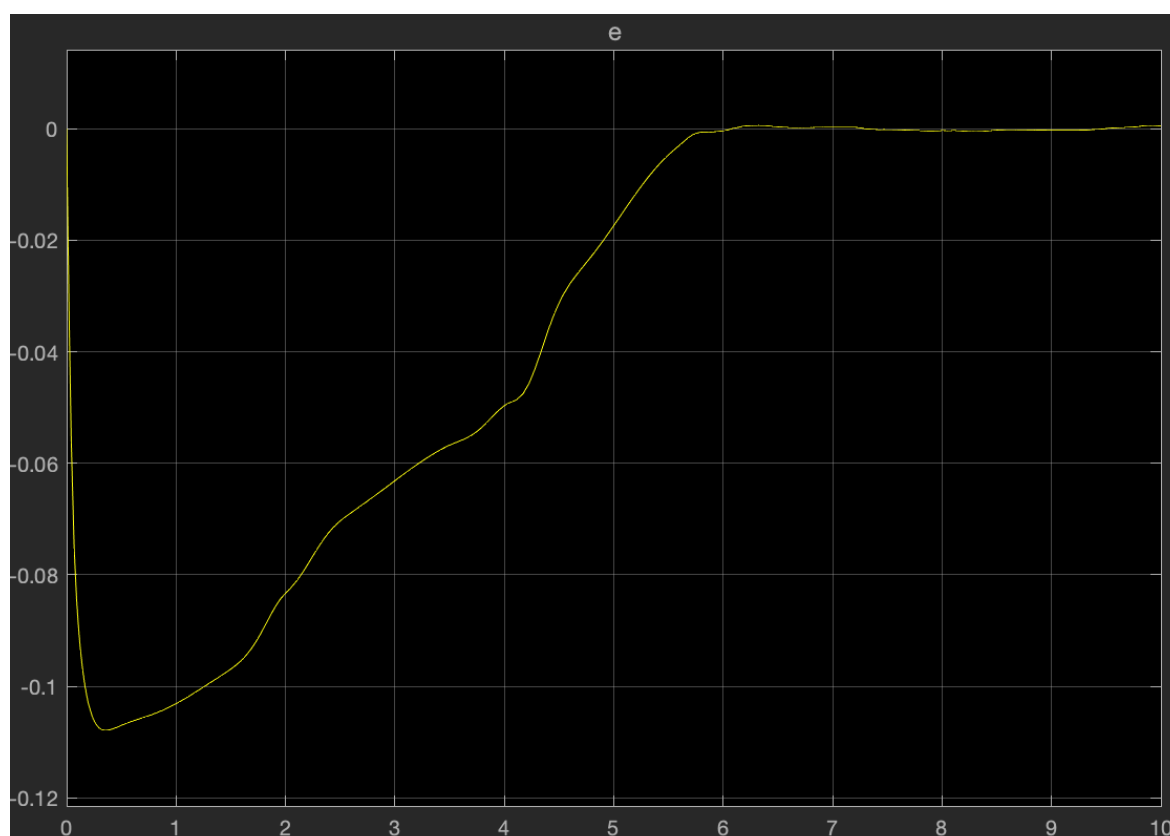
۲-۲ تحلیل نتایج

با توجه به نمودارها، معلوم است که ردیابی درست انجام گرفته است. همچنین، در نمودارهای خطا، سطح لغزش و خروجی کنترلر، پدیده ی چترینگ به وضوح قابل مشاهده است. در اینجا، این پدیده چون دارای دامنه ی زیادی است می تواند مشکل ساز باشد و این را هم در نظر بگیرید که به علت فراجاهش بزرگ در لحظات اول مقیاس نمودار تغییر کرده است و مقدار دامنه ی چترینگ کوچک نشان داده می



شکل ۲-۲: نمودار x با روش کنترل مد لغزشی کلاسیک

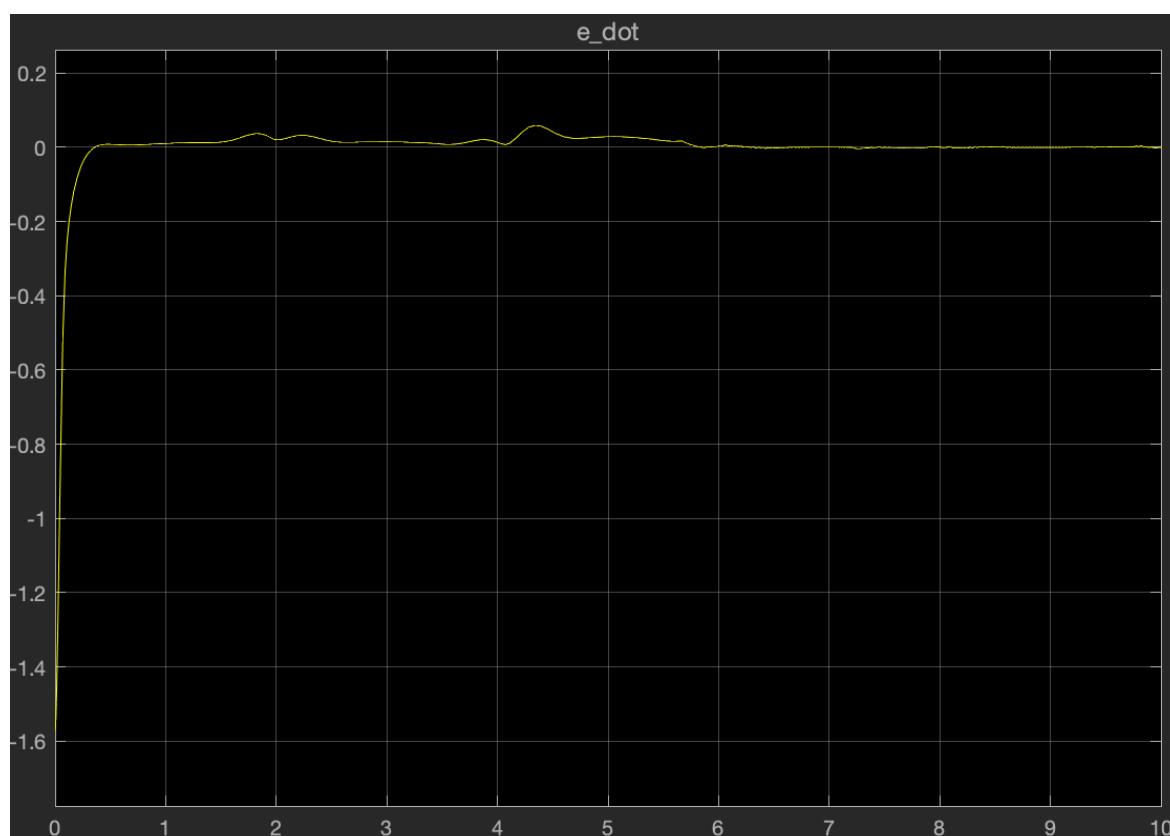
شود ولی در واقع بزرگ می باشد.



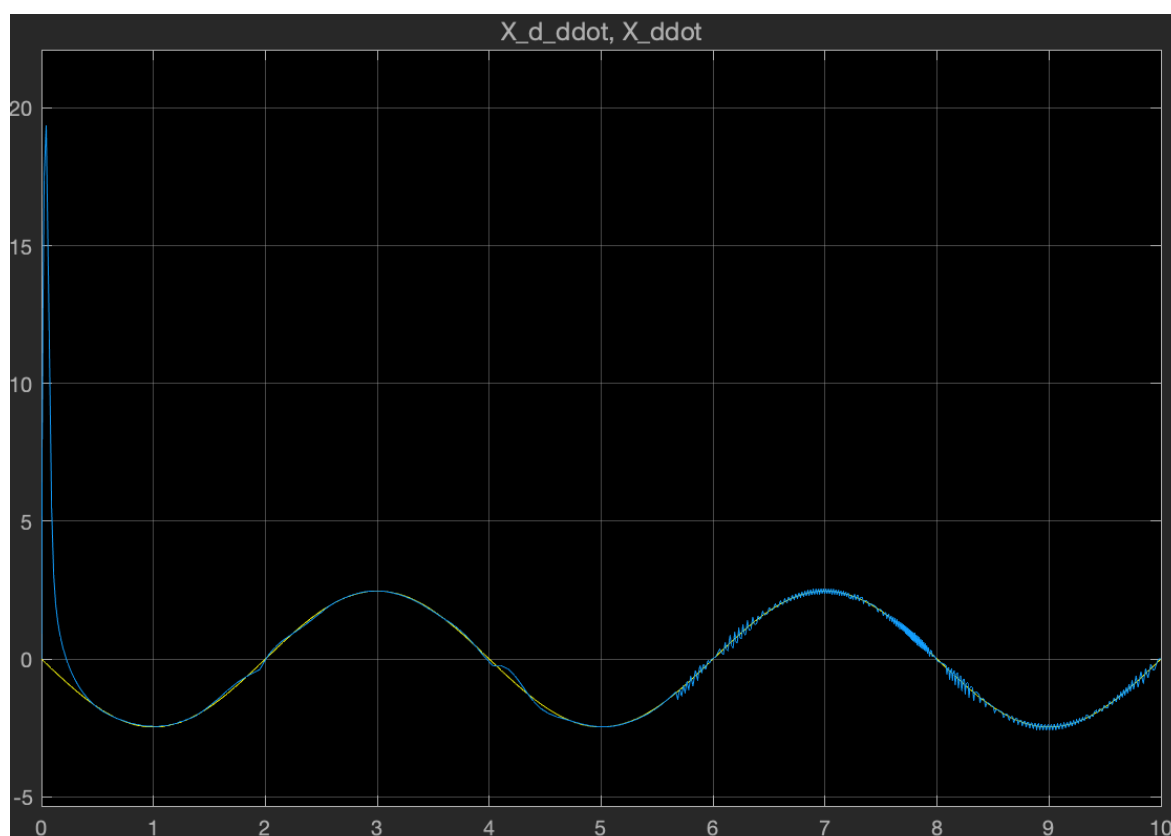
شکل ۲-۳: نمودار e با روش کنترل مد لغزشی کلاسیک



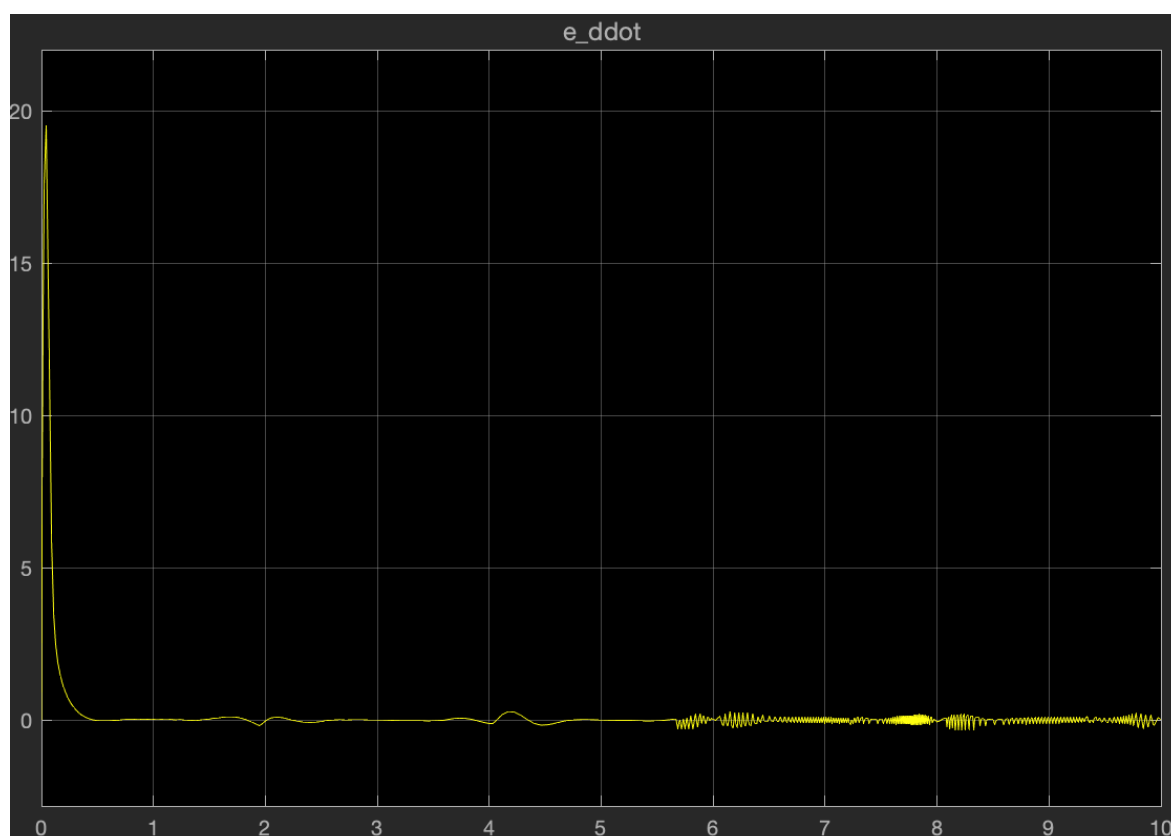
شکل ۲-۴: نمودار \dot{x} با روش کنترل مد لغزشی کلاسیک



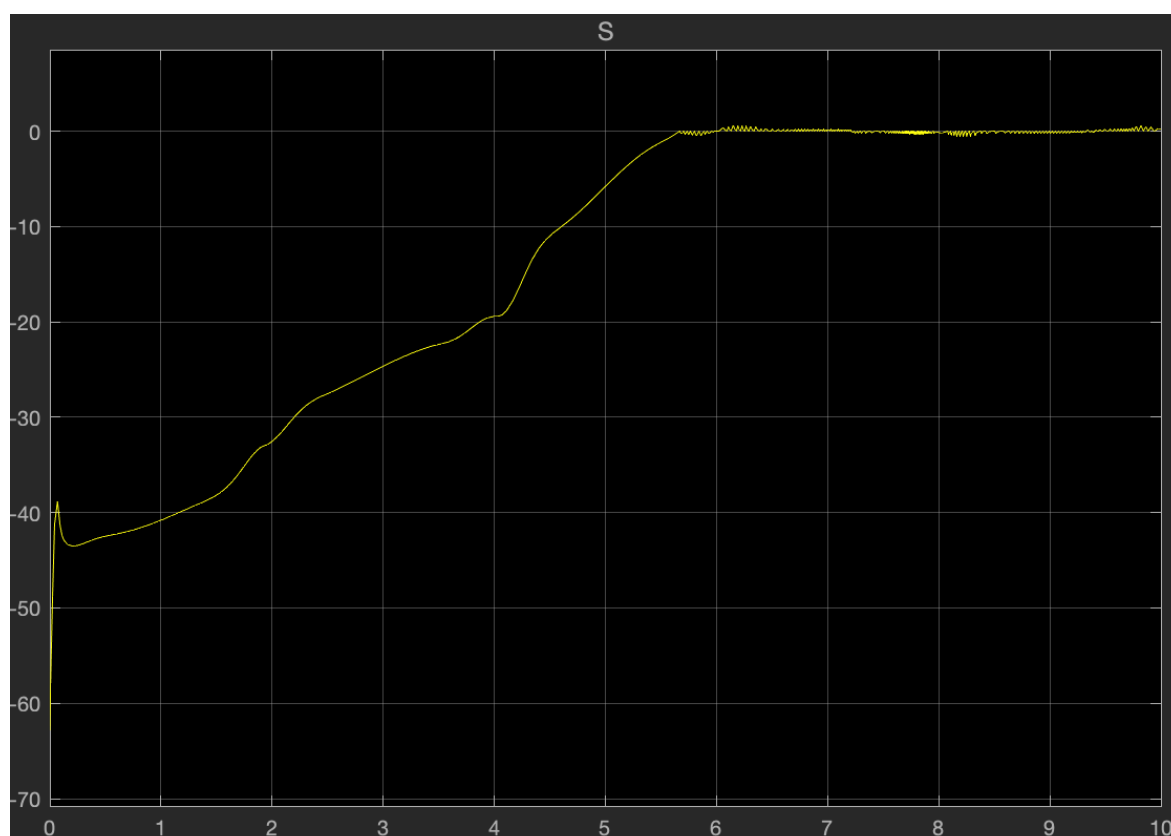
شکل ۲-۵: نمودار \dot{e} با روش کنترل مد لغزشی کلاسیک



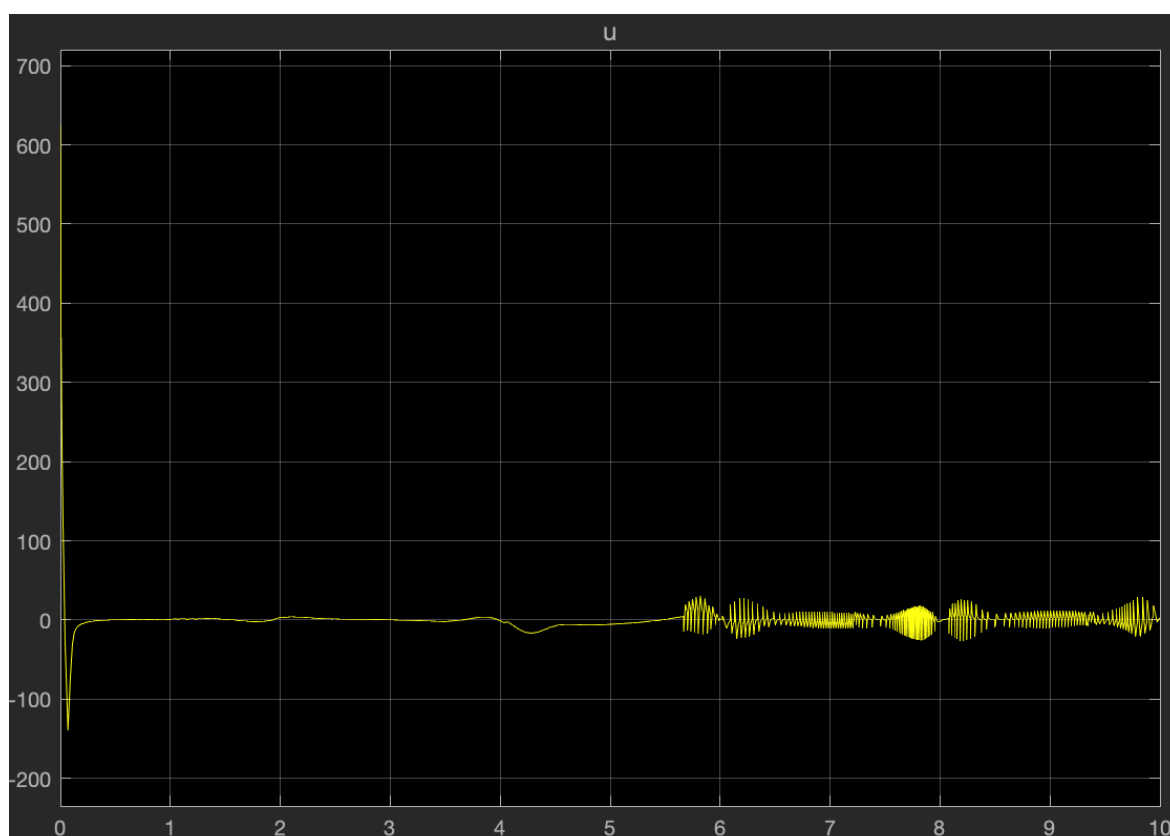
شکل ۲-۶: نمودار \ddot{x} با روش کنترل مد لغزشی کلاسیک



شکل ۲-۷: نمودار \ddot{e} با روش کنترل مد لغزشی کلاسیک



شکل ۲-۸: نمودار S با روش کنترل مد لغزشی کلاسیک



شکل ۲-۹: نمودار u با روش کنترل مد لغزشی کلاسیک

فصل ۳

نتیجه‌گیری

در این تمرین یک سیستم درجه ۳ را با روش کنترل مد لغزشی کلاسیک طراحی کردیم و سپس شبیه سازی کردیم. نتیجه ی این شبیه سازی، یک ردیابی خوب بود ولی به قیمت ایجاد پدیده ی چترینگ و یک فراجهدش بزرگ در لحظات ابتدایی در بردار کنترل و خطا تمام شد.